

Peatükk 3

Pinge

Märkus: See peatükk kattub minu õppeaine „Elastsusõpetus“ loengukonspekti teise peatükiga, mille lõppu on lisatud kahe näiteülesande vastused koos lahendusviidetega.

3.1. Jõud ja pinged

3 - 2

Kehale mõjuvad välisjõud saab jagada kahte rühma.

1. *Pindjõud ehk kontaktjõud* on põhjustatud keha kontaktist teiste kehadega. Näiteks survejõud, mis mõjuvad vette asetatud kehale või vundamendi surve pinnasele jne.

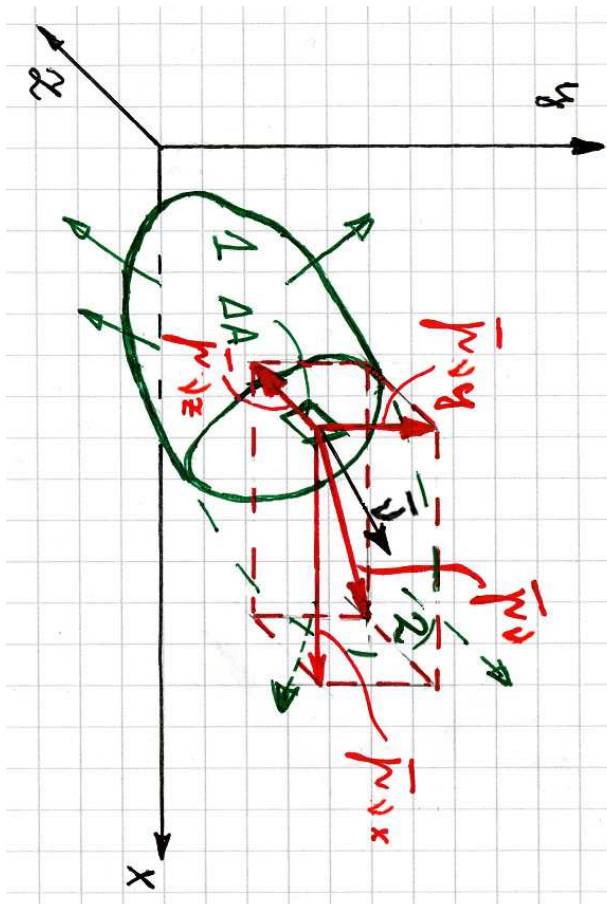
- Pindjõu dimensioon: $1\text{N}/\text{m}^2$
- Kui pind, millel jõud mõjud on väike võrreldes keha mõõtemetega (keha väispinnaga), siis võib sellist jõudu lugeda koondatud jõuks, st. summaarne jõud loetakse rakendatuks ühte punkti.

2. *Mahujõud ehk ruumjõud* mõjuvad igale keha punktile. Näiteks gravitatsioonijõud (keha kaal) või elektromagnetilised jõud või inertsjõud.

- Mahujõu dimensioon: $1\text{N}/\text{m}^3$
- Mõnedes õpikutes käsiteltakse mahujõu asemel massjõudu. Vastav di-mensioon $1\text{N}/\text{kg}$

Vaatleme meelevallse kujuga keha, millele mõjuv pind- ja mahujõududest koosnev (välis)jõudude süsteem on tasakaalus.

Rakendame lõikemeetodit: jagame keha mõtteliselt osadeks 1 ja 2; hülgame osa 2 ja vaatleme osa 1 (joon. 3.1).

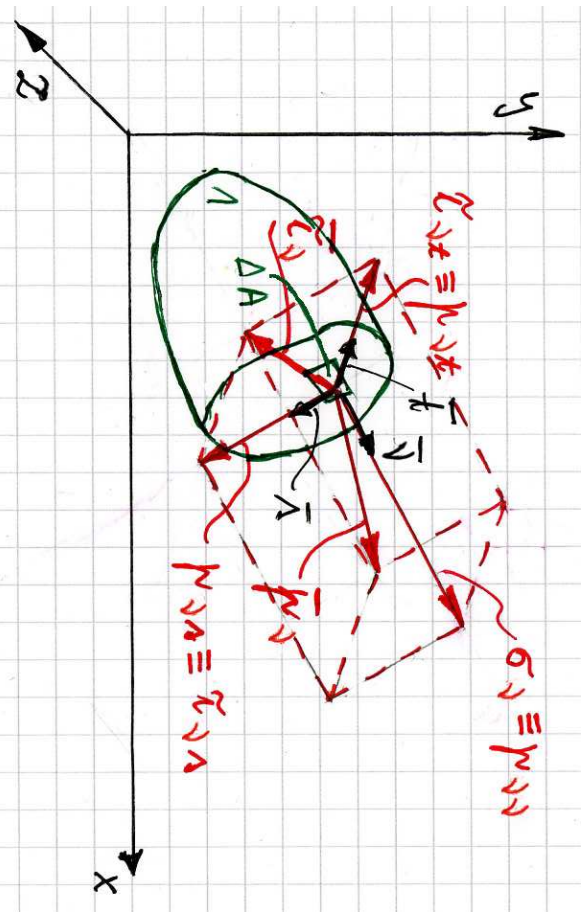


Joonis 3.1: Pingevektori \mathbf{p}_ν koordinaatelgede xyz suunalised komponendid.

3.1. Jõud ja pinged

3 - 4

- Selleks, et osa 1 oleks ka peale osa 2 eraldamist tasakaalus tuleb lõikepinnale rakendada osa 2 asendavad jõud, st. sisejõud, mis on jaotunud üle kogu lõikepinnna.
 - Lõikepind osal 1 on määratud välimormaaliga ν . Mõjudu väikesel pinnal ΔA sisejõud $\Delta \mathbf{S}$. Suhet $\Delta \mathbf{S}/\Delta A$ võib nimetada keskmiseks pingeks pingeiks pinnal ΔA . ✓
 - Kui minna piirile $\Delta A \rightarrow 0$, saame (tegeliku) *pinge pinnal normaaliga ν*
- $$\mathbf{p}_\nu = \lim_{\Delta A \rightarrow 0} \frac{\Delta \mathbf{S}}{\Delta A}. \quad (3.1)$$
- Üldjuhul vektorite ν ja \mathbf{p} suunad ei ühtti.
 - Edaspidi on tihti otstarbekas kasutada pingevektori asenel tema projektsioone koordinaattelgedel $p_{\nu x}, p_{\nu y}, p_{\nu z}$, mis omakorda määrvavad ära pingevektori \mathbf{p}_ν koordinaatelgede xyz sihilised komponendid (vt. joon. 3.1). Siin ja edaspidi märgib esimene indeks pinnanormaali sihti ja teine pingekomponendi mõjumise sihti.



Joonis 3.2: Pingevektori \mathbf{p}_ν lahutamine normaal- ja nihkepingeks.

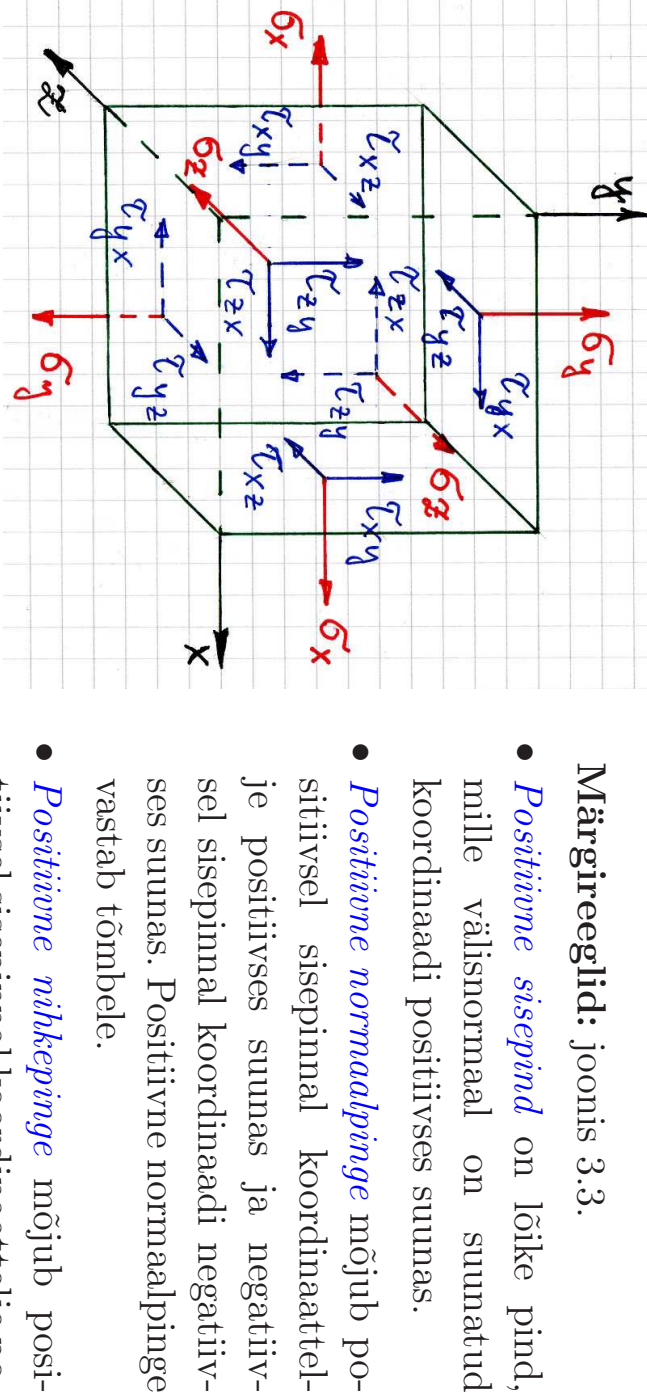
- Teistest kiljtest saab pinnal normaaliga ν mõjuva pingevektori lahutada **normaal- ja nihkepingeks**: $\mathbf{p}_\nu = \boldsymbol{\sigma}_\nu + \boldsymbol{\tau}_\nu$. Nihkepinge $\boldsymbol{\tau}_\nu$ lahutatakse tavaselt veelkord kaheks komponendiks: $\boldsymbol{\tau}_\nu = \boldsymbol{\tau}_{\nu s} + \boldsymbol{\tau}_{\nu t}$ (vt. joon. 3.2, kus $\mathbf{p}_{\nu n} \equiv \boldsymbol{\sigma}_\nu$, $\mathbf{p}_{\nu s} \equiv \boldsymbol{\tau}_{\nu s}$ ja $\mathbf{p}_{\nu t} \equiv \boldsymbol{\tau}_{\nu t}$).

3.1. Jõud ja pinged

Kui lõike pind on paralleeline koordinaattasanditega, siis kasutatakse indeksi ν asemel lõikepinnale normaaliks oleva koordinaattelje nime, näiteks x .

Märgireeglid: joonis 3.3.

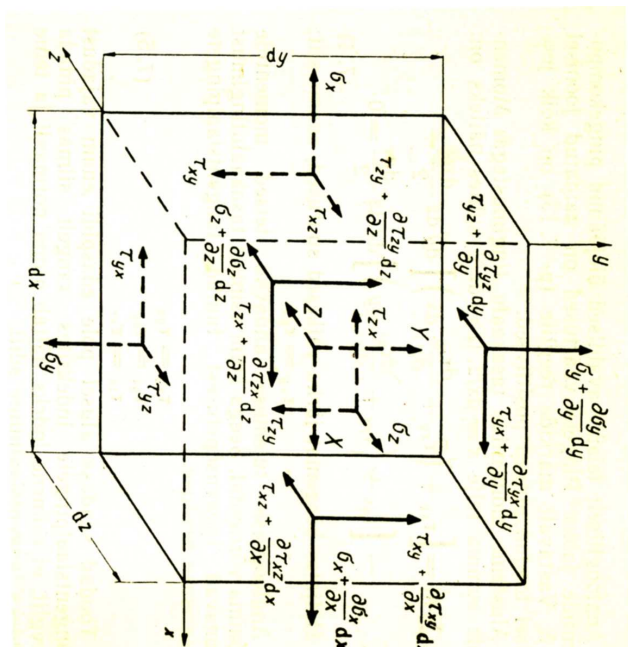
3 - 6



Joonis 3.3: Normaal- ja nihkepingete positiivsed suunad.

Positiivne nihkepinge mõjub positiivsel sisepinnal koordinaattelje positiivses suunas ja negatiivsel sisepinnal koordinaadi negatiivses suunas. Positiivne normaalpinge vastab tõmbele.

Positiivne nihkepinge mõjub positiivsel sisepinnal koordinaattelje positiivses suunas ja negatiivsel sisepinnal koordinaadi negatiivses suunas.



Välisjõudude toimel tahkes kehas tekivad pinged pole üldjuhul konstantsed, vaid võivad omada igas keha punktis erinevaid väärustusi:

$$\sigma_x = \sigma_x(x, y, z), \quad \sigma_y = \sigma_y(x, y, z), \\ \sigma_z = \sigma_z(x, y, z), \quad \tau_{xy} = \tau_{xy}(x, y, z), \dots \quad (3.2)$$

Vaatlame välisjõudude mõju all tasakaalus olevast kehist välja lõigatud elementaarristahukat (joon. 3.4). Igal risttahuka tahul mõjub 3 pingekomponendi \Rightarrow kokku 18 pingekomponenti.

Joonis 3.4: Elementaarristahukas

3.2. Tasakaalu diferentsiaalvõrrandid

3 - 8

Olgu punktis koordinaatidega x, y, z normaalpinge väärustus $\sigma_x(x, y, z)$. Kasutades Taylori rittaarendust¹ (säilitades seejuures vaid esimest järgu väikesed suurused) võime kirjutada

$$\sigma_x(x + dx, y + dy, z + dz) = \sigma_x(x, y, z) + \\ \frac{\partial \sigma_x(x, y, z)}{\partial x} dx + \frac{\partial \sigma_x(x, y, z)}{\partial y} dy + \frac{\partial \sigma_x(x, y, z)}{\partial z} dz. \quad (3.3)$$

- Viimase avaldise (3.3) põhjal $\sigma_x(x + dx, y, z) = \sigma_x(x, y, z) + \frac{\partial \sigma_x(x, y, z)}{\partial x} dx$.
- Teiste pingekomponentide jaoks saab teletada analoogilised valemid.
- Kehale mõjuvate mahujõudude projektsioonid tähistame X, Y, Z (NB! mahijõu dimensioon on 1 N/m^3).

¹Ühe muutuja funktsiooni korral $f(x + dx) = \sum_{k=0}^{\infty} \frac{1}{k!} f^{(k)}(x) dx^k$

Keha on tasakaalus, järelkult peab ka elementaarristtahukas olema tasakaalus. Seega peavad risttahukale mõjuvate jõudude peavektor ja peamoment olema võrdsed nulliga.

Tasakaaluvõrandite koostamiseks leiate esiteks risttahukale mõjuvad jõud, projekteerime nad x -teljele ja võrrutame saadu nulliga:
†

$$\begin{aligned} & \left(\sigma_x + \frac{\partial \sigma_x}{\partial x} dx \right) dy dz - \sigma_x dy dz + \left(\tau_{yx} + \frac{\partial \tau_{yx}}{\partial y} dy \right) dx dz - \tau_{yx} dx dz + \\ & \left(\tau_{zx} + \frac{\partial \tau_{zx}}{\partial z} dz \right) dx dy - \tau_{zx} dx dy + X dx dy dz = 0 \end{aligned} \quad (3.4)$$

Avame sulud ja jagame saadud võrandi elementaarruumalaga $dV = dx dy dz$:

$$\frac{\sigma_x}{dx} + \frac{\partial \sigma_x}{\partial x} - \frac{\sigma_x}{dx} + \frac{\tau_{yx}}{dy} + \frac{\partial \tau_{yx}}{\partial y} - \frac{\tau_{yx}}{dy} + \frac{\tau_{zx}}{dz} + \frac{\partial \tau_{zx}}{\partial z} - \frac{\tau_{zx}}{dz} + X = 0.$$

Peale koondamist saame ühe otsitavatest võranditest

$$\frac{\partial \sigma_x}{\partial x} + \frac{\partial \tau_{yx}}{\partial y} + \frac{\partial \tau_{zx}}{\partial z} + X = 0 \quad (3.5)$$

Analoogiliselt saab tuuletada veel kaks tasakaaluvõrandit kasutades jõudude pro-

3.2. Tasakaalu diferentsiaalvõrrandid

jektsioone y - ja z -teljel:

$$\begin{cases} \frac{\partial \sigma_x}{\partial x} + \frac{\partial \tau_{yx}}{\partial y} + \frac{\partial \tau_{zx}}{\partial z} + X = 0, \\ \frac{\partial \tau_{xy}}{\partial x} + \frac{\partial \sigma_y}{\partial y} + \frac{\partial \tau_{zy}}{\partial z} + Y = 0, \\ \frac{\partial \tau_{xz}}{\partial x} + \frac{\partial \tau_{yz}}{\partial y} + \frac{\partial \sigma_z}{\partial z} + Z = 0. \end{cases} \quad (3.6)$$

Saadud võrrandid ongi **elastse keha tasakaalu (diferentsiaal) võrrandid**. Kui mahujõudu projektsionid sisaldavad inertsjõudusid, saab viimste abil lahendada ka dünaamika ülesandeid.

Järgnevalt leiate momendid risttahuka keskpunkti läbiva x -telje suhtes ja võrrutame tulemuse nulliga:
✓

$$\begin{aligned} & \left(\tau_{yz} + \frac{\partial \tau_{yz}}{\partial y} dy \right) dx dz \frac{dy}{2} + \tau_{yz} dx dz \frac{dy}{2} - \\ & \left(\tau_{zy} + \frac{\partial \tau_{zy}}{\partial z} dz \right) dx dy \frac{dz}{2} - \tau_{zy} dx dy \frac{dz}{2} = 0. \end{aligned} \quad (3.7)$$

Avame sulud:

$$\tau_{yz}dxdydz - \tau_{zy}dxdydz + \underbrace{\frac{\partial \tau_{yz}}{\partial y} dx dz \frac{dy^2}{2} - \frac{\partial \tau_{zy}}{\partial z} dx dy \frac{dz^2}{2}}_{\text{kõrgemat järku väiksed liikmed } \approx 0} = 0. \quad (3.8)$$

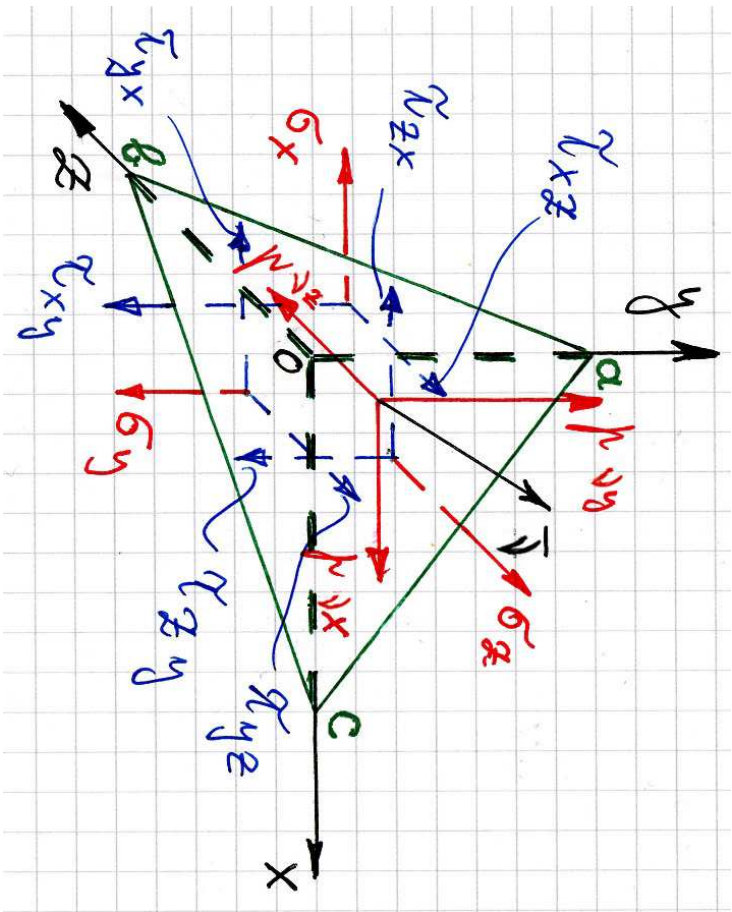
Pärist kõrgemat järu väikeste liikmete hülgamist saame $\tau_{yz} = \tau_{zy}$, mis on tuntud **nihkepingete paarsuse seadusena**. Leides analoogiliselt momendid y - ja z -telje suhtes saame kokkuvõttes

$$\tau_{xy} = \tau_{yx}, \quad \tau_{yz} = \tau_{zy}, \quad \tau_{xz} = \tau_{zx}. \quad (3.9)$$

Tänu nihkepingete paarsusele väheneb tundmatute pingekomponentide arv üheksalt kuuele. Nende määramiseks on meil aga ainult kolm tasakaaluvõrrandit. Seega on tegu staatiliselt määramata ülesandega ja me vajame lisavõrandeid, mis võtaks arvesse materjali füüsikalisi omadusi.

3.3. Pinged kaldpinnal, rajatingimused keha pinnal

3 - 12



Joonis 3.5: Pinged kaldpinnal

Selleks, et uurida pingeseisundit suvalises keha punktis on vaja osata leida pingede meelevallse orientatsiooniga kaldpinnal. Joonisel 3.5 kujutatud kaldpinna abc orientatsioon koordinaattelgede suhtes on määratud pinnanormaali ν suunakoosinustega

$$l = \cos(\nu, x), \quad m = \cos(\nu, y), \quad n = \cos(\nu, z). \quad (3.10)$$

Koos koordinaatpindadega moodustub tetraeeder $Oabc$. Tähistame kaldpinna abc pindala dA . Tetraeedri teiste külgede pindalad avalduvad nüüd läbi vektori ν suunakoosinuste:

$$A_{Oab} = dA \cdot l, \quad A_{Obc} = dA \cdot m, \quad A_{Oac} = dA \cdot n. \quad (3.11)$$

Koostame tetraeedri jaoks tasakaalu võrandid. Peale joonisel 3.5 näidatud pingete mõjuvad tetraeedrile veel mahujõud X, Y, Z , mida pole joonisel näidatud. Projekteerime tetraeedrile mõjuvad jõud x -teljele:

$$\begin{aligned} p_{\nu x} dA - \sigma_x A_{Oab} - \tau_{yx} A_{Obc} - \tau_{zx} A_{Oac} + X dV = \\ p_{\nu x} dA - \sigma_x dA \cdot l - \tau_{yx} dA \cdot m - \tau_{zx} dA \cdot n + X dV = 0. \end{aligned} \quad (3.12)$$

Jagame viimase avaldise pindalaga dA , hülgame viimase liikme kui kõrgemat

3.3. Pinged kaldpinnal, rajatingimused keha pinnal

järku väikese² ja saame avaldise

$$p_{\nu x} = \sigma_x l + \tau_{yx} m + \tau_{zx} n. \quad (3.13)$$

Korrates sama protseduuri teiste telgedega saame avaldised pingevectors \mathbf{p}_ν ülejää nud kahe projektsiooni leidmiseks. Kokku saame

$$\begin{cases} p_{\nu x} = \sigma_x l + \tau_{yx} m + \tau_{zx} n, \\ p_{\nu y} = \tau_{xy} l + \sigma_y m + \tau_{zy} n, \\ p_{\nu z} = \tau_{xz} l + \tau_{yz} m + \sigma_z n. \end{cases} \quad (3.14)$$

Valemid (3.14) võimaldavad leida mis tahes kaldpinnal mõjuva pingevektori \mathbf{p}_ν komponente kui on teada pinnanormaal ν ja pingekomponendid koordinaatpindadel $\sigma_x, \dots, \tau_{xy}, \dots$.

Kui pind abc ühtib keha välispinnaga, siis esitavad võrrandid (3.14) *rajatingimusit ääretelingimusi keha pinnal*.

✓

² $\lim_{dA \rightarrow 0} (dV/dA) = 0$

Kuna vaadeldav tetraeder on lõpmata väike, siis tegelikult võimaldavad valemid (3.14) määrama pingeid keha mis tahes punkti läbival mis tahes kaldpinnal kui on teada pinnanormaal ν ja pinged (pingekomponendid $\sigma_x, \sigma_y, \sigma_z, \tau_{xy}, \tau_{yz}, \tau_{xz}$) seda punkti läbivatel koordinaattasanditel.

Pinnal normaaliga ν mõjuva pinge saab omakorda jagada normaalpingeks σ_ν ja nihkepingeks τ_ν . Kui on teada pingevektori \mathbf{p}_ν komponendid ja normaali ν suunakoosinused, siis saame leida

✓

$$\sigma_\nu = p_{\nu x}l + p_{\nu y}m + p_{\nu z}n. \quad (3.15)$$

Kasutades valemeid (3.14) saab σ_ν omakorda avaldada koordinaattasandeil mõjuvate pingete kaudu. Nihkepinge τ_ν kujutab endast pingevektori \mathbf{p}_ν projektsiooni vaadeldaval pinnal ja tema moodul

$$\tau_\nu^2 = p_\nu^2 - \sigma_\nu^2. \quad (3.16)$$

3.4. Peapinged, pinge invariantid

3 - 16

On selge, et nii \mathbf{p}_ν , kui σ_ν ja τ_ν sõltuvad pinna orientatsioonist. Saab näidata, et igas punktis leidub vähemalt kolm omavahel ristuvat pinda, millel nihkepinge $\tau_\nu = 0$ ja normaalpinge $\sigma_\nu = \mathbf{p}_\nu$. Selliseid pindasid nimetatakse **peapindadeks**, neil pindadel mõjuvaid normaalpingeid **peapingeteks** ja neid pindu määrawaid pinanormale **peasuundadeks**.

Peapingete ja peasuundade leidmise protseduur.

- Tähistame otsitava peapinge σ ja talle vastava pinnanormaali suunakoosinused l, m, n .
- Nende nelja tundmatu määramiseks on võrrandsüsteem

$$\begin{cases} (\sigma_x - \sigma)l + \tau_{yx}m + \tau_{zx}n = 0, \\ \tau_{xy}l + (\sigma_y - \sigma)m + \tau_{zy}n = 0, \\ \tau_{xz}l + \tau_{yz}m + (\sigma_z - \sigma)n = 0 \end{cases} \quad (3.17)$$

koos lisatingimusega

$$l^2 + m^2 + n^2 = 1.$$

(3.18)

*

- Meid huvitab selle VS-i mittetrviaalne lahend (l, m, n pole korraga nullid). See tingimus on täidetud kui karakteristlik determinant

$$\begin{vmatrix} \sigma_x - \sigma & \tau_{yx} & \tau_{zx} \\ \tau_{xy} & \sigma_y - \sigma & \tau_{zy} \\ \tau_{xz} & \tau_{yz} & \sigma_z - \sigma \end{vmatrix} = 0 \quad (3.19)$$

- Võimasest saadakse omakorda karakteristiklilik võrrand

$$\sigma^3 - I_1^\sigma \sigma^2 + I_2^\sigma \sigma - I_3^\sigma = 0, \quad (3.20)$$

kus suuruseid

$$\left\{ \begin{array}{l} I_1^\sigma = \sigma_x + \sigma_y + \sigma_z, \\ I_2^\sigma = \begin{vmatrix} \sigma_x & \tau_{xy} \\ \tau_{xy} & \sigma_y \end{vmatrix} + \begin{vmatrix} \sigma_y & \tau_{yz} \\ \tau_{yz} & \sigma_z \end{vmatrix} + \begin{vmatrix} \sigma_x & \tau_{xz} \\ \tau_{xz} & \sigma_z \end{vmatrix}, \\ I_3^\sigma = \begin{vmatrix} \sigma_x & \tau_{yx} & \tau_{zx} \\ \tau_{xy} & \sigma_y & \tau_{zy} \\ \tau_{xz} & \tau_{yz} & \sigma_z \end{vmatrix} \end{array} \right. \quad (3.21)$$

nimetatakse **pinge invariantideks**³.

³Täpsemalt öeldes nimetatakse neid pingetensori invariantideks. Tensori mõiste juurde tulene õige pea.

3.4. Peapinged, pinge invariantid

3 - 18

- Uuritaval juhul on kuupvõrandil (3.20) kolm reaalarvulist lahendit, mis ✓ järjestatakse kahanevas järjekorras $\sigma_1 \geq \sigma_2 \geq \sigma_3$.
- Neile vastava kolme peasuuna määramiseks asendatakse saadud kolm peapinget kordamööda võrandisüsteemi (3.17), (3.18). Tullemusena saame igale peapingele σ_i vastava peasuuna suunakoosimused l_i, m_i, n_i , $i = 1, 2, 3$.
- Peasundade praktilise leidmise juurde tuleme tagasi alajaotuses 3.6.

Sõltuvalt kuupvõrandi lahendite väärustustest, saab eristada kolme juhtu:

- Kui kõik kolm peapinget on erinevad, siis saadakse võrandisüsteemi (3.18) lahendamisel kolm ristuvat ühikvektorit.
- Kui kõik kolm peapinget on võrdsed, siis sobib peapinnaks iga vaadeldavat punkti läbiv pind. Praktistikel kaalutustel valitakse tavalistelt ristuvate pindade kolmik, mis omakorda määrab omavahel ristuvate peasuundade kolmiku.

3. Kui kaks peapinget on võrdsed ja kolmas neist erinev, siis saame määräda seletle kolmandale peapingele vastava peasuna, mis omakorda määrab peapinna. Ülejääenud kaheks peasunaks sobib mistahes ristuvate suundade paar, mis on omakorda risti kolmanda peasunaga.

Kasutades peapingeid saame pinge invariandid kujul

$$\begin{cases} I_1^\sigma = \sigma_1 + \sigma_2 + \sigma_3, \\ I_2^\sigma = \sigma_1\sigma_2 + \sigma_2\sigma_3 + \sigma_1\sigma_3, \\ I_3^\sigma = \sigma_1\sigma_2\sigma_3. \end{cases} \quad (3.22)$$

- Pinge invariandid on sõltumatud koordinaatide xyz valikust.
- Kuna invariandid on sõltumatud koordinaatide valikust, tuleb neid vaadelda kui põhilisi suurusi, mis iseloomustavad pinget vaadeldavas punktis — kõik pingekomponendid on määratavad läbi invariantide.

3.5 Pingetensor

Vaatleme keha meelevaldset punkti. Seda punkti läbib kolm koordinaattasandit, millega mõjuvad kolm normaalpinget $\sigma_x, \sigma_y, \sigma_z$ ja kuus nihkepinget $\tau_{xy} = \tau_{yx}, \tau_{yz} = \tau_{zy}, \tau_{xz} = \tau_{zx}$ moodustavad *pingetensori*

$$\begin{bmatrix} \sigma_x & \tau_{xy} & \tau_{xz} \\ \tau_{yx} & \sigma_y & \tau_{yz} \\ \tau_{zx} & \tau_{zy} & \sigma_z \end{bmatrix}. \quad (3.23)$$

Pingetensor on *teist järgku tensor* ja teda saab esitada 3×3 (tasandülesannete korral 2×2) tabelina nagu maatrikseid. Pingetensor iseloomustab täielikult pingest (pingeseisundit) antud punktis ning tema abil saab määra pingevektori suvalisel seda punkti läbival pinnal (vt. valemid (3.14)).

Käesolevas kursuses vaatleme kolme liiki füüsikalisi suurusi — skalaare, vektoreid ja (teist järgku) tensoreid.

1. *Skalaar* pole seotud suunaga, teda iseloomustab vaid (arv)väärtus. Näited: mass, tihedus, temperatuur.

2. *Vektorit* iseloomustab lisaks moodulile (arvväärtsusele) ka suund. Vektori iga komponent on samuti seotud ühe suunaga ja tema tähistamisel kasutatakse ühte indeksit. Näited: jõud, pinnanormaal, kiirus, siire.

3. *Teist järu tensori* iga komponenti iseloomustab lisaks moodulile kaks suunda ja tema tähistamisel kasutatakse kahte indeksit. Näiteks pingetensori korral näitab esimene indeks pinnanormaali suunda ja teine indeks pingekomponendi suunda.

- Vektoreid võib nimetada esimest järu tensoriks ja skalaare nullindat järu tensoreiks.

Maatriksite ja tensorite omavaheline suhe

- Kui on fikseeritud kordinaatsüsteem, siis saab iga teist järu tensori esitada 3×3 maatriksina ja iga vektori arvukolmikuna.
- Vastupidine aga ei kehti — iga 3×3 maatriks ei osutu tensoriks.
- Koordinaatide teisendamisel teisenevad nii tensori kui vektori komponendid kindlate reeglite alusel.

3.5. Pingetensor

3 - 22

- Pärast koordinaatteisendust peab tensor (vektor) esitama endiselt täpselt sama füüsikalist suurust, mida enne teisendust.
 - * Kui see nii on, siis ongi tegu tensoriga (vektoriga), vastupidisel juhul mitte.
 - * Vastupidine olukord on füüsikaliselt vastuvõtmatu. Pole võimalik, et pinge keha punktis või punkti siire või kiirus sõltuks koordinaatsüsteemi valikust.
 - * Näide. Vektor ning kaks koordinaatsüsteemi xy ja $x'y'$, mille vaheline nurk on θ .
- Kui tensor (vektor) on määratud igas vaadeldava keha punktis, siis on meil tegu tensorväljaga (vektorväljaga). Näiteks on pingetensori korral tegu tensorväljaga, sest ta on määratud igas vaadeldava keha punktis.

3.6 Ülesanded

Ülesanne 1. Pingus keha punktides on antud pingetensoriga (Descartes'i ristkoordinaatides)

$$S = \begin{bmatrix} 3xy & 5y^2 & 0 \\ 5y^2 & 0 & 2z \\ 0 & 2z & 0 \end{bmatrix}.$$

Leida pinge(vektor), mis mõjub silindri külgpinnal $y^2 + z^2 = 4$ punktides P, Q, R, L ja M ning silindri otspindade punktides Q ja R . Lahutage pingevektor normaal- ja nihkepingeks.

Lahendamisel tuleb kasutada valemeid (3.14), (3.15) ja (3.16).

Järgmisel kolmel leheküljal toodud ülesande 1 lahenduses tuleb valemitide viidete juures „näha“ (2. ...) asemel (3. ...)

3.6. Ülesanded

3 - 24

$$\bar{S} = \begin{bmatrix} 3xy & 5y^2 & 0 \\ 5y^2 & 0 & 2z \\ 0 & 2z & 0 \end{bmatrix} \quad \text{Silinder } x^2 + z^2 = 4 \quad \text{dk } \bar{\Phi} = x^2 + z^2 - 4 = 0$$

$$\text{Silinder normaal: } \bar{J}^* = \text{grad } \bar{\Phi} = \dots = (0, 2y, 2z) \quad \text{üldisknormaal } \bar{J} = \bar{J}^*/|\bar{J}^*|; |\bar{J}^*| = 2\sqrt{y^2 + z^2}$$

Ringi pinnal normaal \bar{J} : $\bar{J}_v = \bar{J} \cdot \bar{S}$ /võrrele valem (2.14)/

$$*) \text{ Punkt } P = (2, 1, \sqrt{3}) \rightarrow \bar{J}^* = (0, 2, 2\sqrt{3}) \rightarrow |\bar{J}^*| = 4 \Rightarrow \bar{J} = (0, 1/2, \sqrt{3}/2)$$

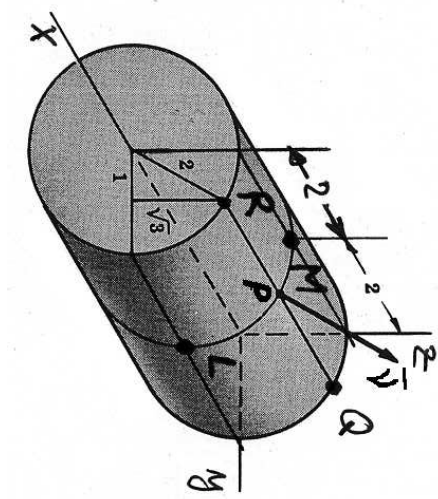
$$\bar{S} = \begin{bmatrix} 6 & 5 & 0 \\ 5 & 0 & 2\sqrt{3} \\ 0 & 2\sqrt{3} & 0 \end{bmatrix} \quad \bar{P}_v = (2, 5, 3; \sqrt{3}) ; |\bar{P}_v| = 4, 272$$

$$\text{Normalkringi } \bar{S} = \sigma_v \bar{J}, \text{ vastav mõõdul } \sigma = |\bar{S}| = |\bar{S}_v|$$

$$\text{Vt. } \bar{J}^* = (0; 1/2; \sqrt{3}/2) \quad \bar{J}_v = \sigma = 3$$

$$\text{Nihkepinge } \bar{\tau} = \bar{P}_v - \bar{S} = (2, 5, 3; \sqrt{3}) - 3 \cdot (0; 1/2; \sqrt{3}/2) = \dots = (2, 5, 1, 5; -\frac{\sqrt{3}}{2})$$

$$\text{Vastav mõõdul } |\bar{\tau}| = \sqrt{\bar{\tau}_x^2 + \bar{\tau}_y^2 + \bar{\tau}_z^2} = \sqrt{\bar{\tau}_x^2 + \bar{\tau}_y^2} = \sqrt{\tau_x^2 + \tau_y^2} = \sqrt{3, 04}$$



*^o) punkt $Q = (0, 1, \sqrt{3})$ $\bar{s} = \begin{bmatrix} 0 & 5 & 0 \\ 5 & 0 & 2\sqrt{3} \\ 0 & 2\sqrt{3} & 0 \end{bmatrix}$ NB! Kõik pinnaga punktid
kõrde muu on Soma,
mis punktis P

*^o) punkt $R = (4, 1, \sqrt{3})$ / kõik muud punktid /

$$\bar{s} = \begin{bmatrix} 12 & 5 & 0 \\ 5 & 0 & 2\sqrt{3} \\ 0 & 2\sqrt{3} & 0 \end{bmatrix}$$

Kõrde muu on Soma, mis p. -des \overrightarrow{PQ}

*^o) punkt $L = (2, 2, 0) \Rightarrow \bar{j} = (0, 1, 0)$ $\bar{s} = \begin{bmatrix} 12 & 20 & 0 \\ 20 & 0 & 0 \\ 0 & 0 & 0 \end{bmatrix}$

$$\bar{\mu}_j = \bar{j} \cdot \bar{s} = (20; 0; 0) \Rightarrow \bar{\mu}_j = 20$$

$$\bar{\tau} = \bar{\mu}_j \quad \& \quad \sigma = 0$$

Vt. joonist!

*^o) punkt $M = (2; 0; 2) \Rightarrow \bar{j} = (0; 0; 1)$ $\bar{s} = \begin{bmatrix} 0 & 0 & 0 \\ 0 & 0 & 4 \\ 0 & 4 & 0 \end{bmatrix}$

$$\bar{\mu}_j = \bar{j} \cdot \bar{s} = (0; 4; 0) \quad \bar{\mu}_j = 4$$

$\bar{\tau} = \bar{\mu}_j \quad \& \quad \sigma = 0$

Vt. joonist!

*^o) punkt $Q = (0, 1, \sqrt{3})$ otsjuimal $\Rightarrow \bar{j} = (-1; 0; 0)$

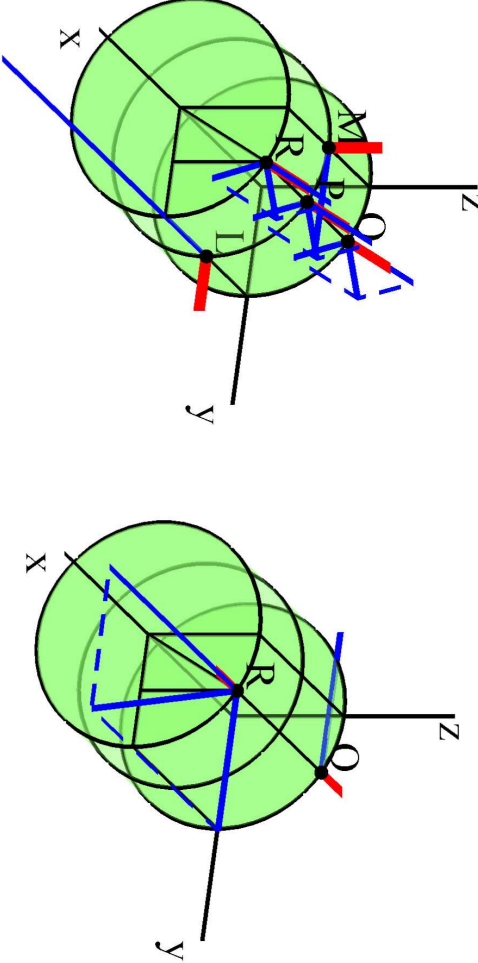
$$\bar{s} \text{ on pumba laevhind} \quad \bar{\mu}_j = (0; -5; 0) \Rightarrow \bar{\tau} = \bar{\mu}_j \quad \& \quad \sigma = 0$$

*^o) punkt $R = (4, 1, \sqrt{3})$ otsjuimal. \bar{s} on laevhind, $\bar{j} = (1, 0, 0)$

$$\bar{\mu}_j = (12, 5, 0) \Rightarrow \bar{\tau} = (12, 0, 0)$$

3.6. Ülesanded

Pinged silindri külgpindadel. Pinged silindri otspindadel.



Ülesanne 2. Leida peapinged ja peasunad pingetensorile

$$S = \begin{bmatrix} -1 & -16 & -2 \\ -16 & 5 & -14 \\ -2 & -14 & 14 \end{bmatrix}.$$

Ülesannet 2 on võimalik lahendada kahel põhimõtteliselt erineval viisil.

A. «Käsitssi»

1. Tuleb koostada võrrandisüsteem (3.17) ja vastav karakteristlik determinant.
2. Karakteristliku determinandi abil tuleb moodustada karakteristlik võrrand ja leida selle lahendid. Viimased ongi peapinged, mis tuleb järjestada kahanevas järjekorras ($\sigma_1 \geq \sigma_2 \geq \sigma_3$).
3. Peapinged σ_i ($i = 1, 2, 3$) tuleb asendada ükshaaval võrrandisüsteemi (3.17).
 - (a) Iga peapinge σ_i jaoks saate kolm võrrandit. Kuna neist vaid kaks on lineaarselt sõltumatud, siis tuleb neist välja valida suvalised kaks, millesse tuleb asendada $n_i = 1$ ja leida vastavad l_i ja m_i . Tulemusena saate vektori $\mathbf{N}_i^* = (l_i^*, m_i^*, n_i^*)$, mis määrab peapingele σ_i vastava peasunu.

3.6. Ülesanded

3 - 28

(b) Järgmiste sammuna tuleb saadud vektor \mathbf{N}^* normeerida, s.t. leida vastav ühikvektor $\mathbf{N}_i = \mathbf{N}_i^*/|\mathbf{N}_i^*|$.

4. Peale peasuundade leidmist tuleb kontrollida, kas nad moodustavad parema käe kolmiku, s.t. kas $\mathbf{N}_3 = \mathbf{N}_1 \times \mathbf{N}_2$.

- Kui $\mathbf{N}_1 = (l_1, m_1, n_1)$ ja $\mathbf{N}_2 = (l_2, m_2, n_2)$, siis

$$\mathbf{N}_1 \times \mathbf{N}_2 = \left\{ \begin{vmatrix} m_1 & n_1 \\ m_2 & n_2 \end{vmatrix}, \begin{vmatrix} n_1 & l_1 \\ n_2 & l_2 \end{vmatrix}, \begin{vmatrix} l_1 & m_1 \\ l_2 & m_2 \end{vmatrix} \right\}.$$

B. «Arvutiga»

1. Sisestada pingetensori maatriks.
2. Leida peaväärused ja peasunad. Harilikult on selleks käsk **eig** (*eigenvalues*).
3. Järjestada peaväärused ja peasunad ümber nii, et $\sigma_1 \geq \sigma_2 \geq \sigma_3$. Kuna pea- väärustega koos tuleb ümberjärjestada ka peavektorid, siis tuleb tihti muuta arvutist saadud peavektori \mathbf{N}_3 orientatsioon selliseks, et $\mathbf{N}_3 = \mathbf{N}_1 \times \mathbf{N}_2$.

Sel leheküljel toodud ülesande 2 lahenduses tuleb valemitide viidete juures „näha“
 (2. ...) asemel (3. ...)

$$\zeta = \begin{bmatrix} -1 & -16 & -2 \\ -16 & 5 & -14 \\ -2 & -14 & 14 \end{bmatrix} \quad (2.14) \Rightarrow \begin{cases} (-1-\sigma)l - 16m - 2n = 0 \\ -16l + (5-\sigma)m - 14n = 0 \\ -2l - 14m + (14-\sigma)n = 0 \end{cases} \quad (\otimes)$$

Korallikontroll
detemininant

Korallikontroll
kunphörand

$$\begin{vmatrix} -1-\sigma & -16 & -2 \\ -16 & 5-\sigma & -14 \\ -2 & -14 & 14-\sigma \end{vmatrix} = 0 \dots \Rightarrow \sigma^3 - 18\sigma^2 - 405\sigma + 4374 = 0 \quad (\otimes)$$

(*) \rightarrow kolmn lahtedat $\sigma = [-18; 2; 9] \rightarrow$

$$\rightarrow \text{kolm peapünt } \sigma_1 = 2, \sigma_2 = 9, \sigma_3 = -18 ; \underline{\underline{\sigma_1 \geq \sigma_2 \geq \sigma_3}} \quad \text{P}$$

$$\sigma_i \leftrightarrow \text{peamurd } \bar{N}_i \quad \sigma_1 = 2 \rightarrow (\infty) \Rightarrow \bar{N}_1 = \left(\frac{1}{3}, -\frac{2}{3}, \frac{2}{3} \right)$$

$$\sigma_2 \rightarrow (*) \rightarrow \bar{N}_2 = \left(-\frac{2}{3}, \frac{1}{3}, \frac{2}{3} \right) \quad \sigma_3 \rightarrow (\infty) \Rightarrow \bar{N}_3 = \left(\frac{2}{3}, \frac{2}{3}, \frac{1}{3} \right)$$

$$\text{Parame mae kolmik kontroll: } \bar{N}_3 = \bar{N}_1 \times \bar{N}_2 = \left(-\frac{2}{3}, -\frac{2}{3}, -\frac{1}{3} \right)$$